

# СУБДОПЛЕРОВСКОЕ ОХЛАЖДЕНИЕ А-АТОМОВ В ПОЛЕ ДВУХ СТОЯЧИХ ВОЛН С ПРОСТРАНСТВЕННЫМ ФАЗОВЫМ СДВИГОМ

Д.В.Косачев, Ю.В.Рождественский

Санкт-Петербургский государственный технический университет,  
кафедра теоретической физики  
195251 Санкт-Петербург, Россия

Поступила в редакцию 2 декабря 1993 г.

В работе представлен новый механизм субдоплеровского охлаждения трехуровневых А-атомов в поле стоячих волн, имеющих пространственный фазовый сдвиг. Анализ динамики А-атома в поле стоячих волн проведен на основе точных решений стационарных уравнений для элементов матрицы плотности. Показано, что при определенных значениях фазового сдвига эффективная температура А-атомов может достигать значений, много меньших доплеровского предела.

В последнее время активно исследуются различные механизмы охлаждения нейтральных атомов ниже доплеровского предела  $T_D = \hbar\gamma/k_B \approx 10^{-4}$  К, определяемого естественной шириной  $2\gamma$  линии атомного перехода. Такими механизмами сейчас являются: охлаждение за счет градиента поляризации [1], охлаждение в присутствии магнитного поля [2], а также охлаждение атомов при использовании когерентного пленения населенностей [3].

В настоящем сообщении мы представляем новый механизм субдоплеровского лазерного охлаждения (СДЛО), который имеет место при взаимодействии трехуровневых А-атомов (рис.1) с двумя стоячими волнами, имеющими относительный пространственный фазовый сдвиг  $\varphi$ . Нами показано, что наличие ненулевого сдвига  $\varphi$  качественно меняет динамику А-атомов в поле стоячих волн и драматически влияет на характер эволюции атомного распределения и эффективную температуру атомного ансамбля, причем при определенных значениях параметров излучения температура может достигать значений, много меньших  $T_D$ .

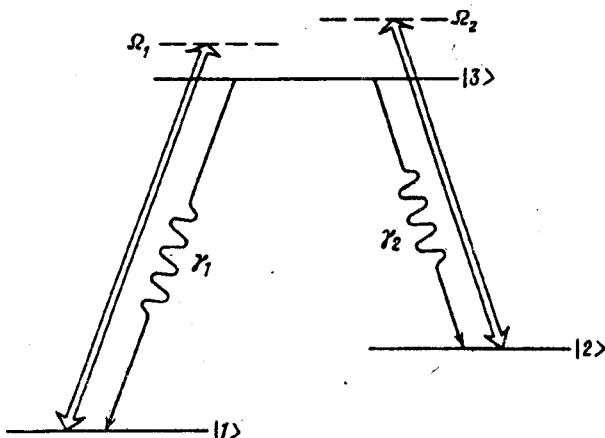


Рис.1.  $\Lambda$  - схема взаимодействия;  $\Omega_m = \omega_m - \omega_{3m}$  - частотные расстройки возбуждающих волн ( $\omega_{3m}$  - частоты переходов  $|m\rangle \rightarrow |3\rangle$ ),  $G_m$  - вероятности спонтанных распадов по каналам  $|3\rangle \rightarrow |m\rangle$

Физически такое поведение А-атомов объясняется проявлением в данной схеме взаимодействия так называемого "сизифова" механизма торможения [1],

который возникает при сочетании пространственно-неоднородных оптической накачки и световых сдвигов уровней энергии атома. Находясь в одном из нижних состояний, атомы движутся в потенциале, созданным периодическим световым сдвигом этого уровня (период равен  $\lambda/2$ ,  $\lambda$  – длина возбуждающих волн). Переходя за счет оптической накачки в другое невозбужденное состояние, с меньшим световым сдвигом, атомы теряют свою кинетическую энергию. Для создания такой картины движения атомов в других схемах СДЛО использовались градиент поляризации возбуждающих волн [1] или магнитное поле [2], в предлагаемой нами схеме для этого достаточно двух стоячих волн. Так как взаимодействующие с  $\Lambda$ -атомами волны являются стоячими, величина световых сдвигов меняется от узла к пучности, что создает необходимую периодичность потенциалов, а оптическая накачка появляется при ненулевом пространственном сдвиге  $\varphi$ .

Для решения поставленной задачи запишем поле стоячих волн в виде

$$E(z, t) = 2E_0[\cos(\omega_1 t) \cos(kz) + \cos(\omega_2 t) \cos(kz + \varphi)], \quad (1)$$

где  $\omega_m$  – частоты световых волн резонансных переходов  $|m > -|3\rangle$   $\Lambda$ -атома (рис.1,  $m = 1, 2$ ),  $\varphi$  – их пространственный сдвиг, и считается, что амплитуды и волновые векторы одинаковы для обеих стоячих волн.

Усредненная по длине световой волны  $\lambda$  радиационная сила может быть определена согласно [5] как

$$F_z = \hbar kg \sum_{n=\pm 1} (-n)[Q(n) + P(n) \exp(-in\varphi)], \quad (2)$$

где  $g = dE_0/2\hbar$  – частота Раби, одинаковая для обоих переходов  $\Lambda$ -атома, а  $Q(n) = \rho_{31}(n) + \rho_{13}(n)$ ,  $P(n) = \rho_{32}(n) + \rho_{23}(n)$  – суммы фурье-компонент недиагональных элементов  $\rho_{jm}$ , полученных после разложения матрицы плотности трехуровневого атома в бесконечный пространственный ряд:

$$\rho_{jm} = \sum_{n=-\infty}^{\infty} \rho_{jm}(n) \exp(inkz), \quad j, m = 1, 2, 3. \quad (3)$$

Известно [6], что после подстановки (3) в систему уравнений для элементов матрицы плотности мы получим, в стационарном случае, бесконечную систему рекуррентных алгебраических уравнений для  $\rho_{jm}(n)$ , решение которой можно искать в виде матричной цепной дроби. Для этого запишем получившуюся систему в виде

$$A_n x_{n+2} + B_n x_n + C_n x_{n-2} = \delta_{n0}s, \quad n = 0, \pm 2, \pm 4, \dots, \quad (4)$$

где  $x_n$  – вектор:  $[\rho_{11}(n) - \rho_{33}(n), \rho_{22}(n) - \rho_{33}(n), \rho_{12}(n), \rho_{21}(n)]$ , а  $s$  – вектор, составленный из значений вероятностей спонтанных распадов:  $s = [i\Gamma_1, i\Gamma_2, 0, 0]$ ,  $\Gamma_1 = (2\gamma_1 + \gamma_2)/3$ ,  $\Gamma_2 = (\gamma_1 + 2\gamma_2)/3$ ,  $\delta_{n0}$  – символ Кронекера. В (4)  $A_n, B_n, C_n$  определены как матрицы  $(4 \times 4)$ , элементы которых являются линейными комбинациями величин  $f_{mnl}$ :

$$f_{mn} = \frac{g^2 \exp(il\varphi)}{i\gamma \mp (\Omega_{m3} \pm (n \pm 1)kv_z)}, \quad m = 1, 2; \quad l = 0, \pm 1, \pm 2,$$

где  $\Omega_{m3}$  – частотные расстройки,  $\gamma = (\gamma_1 + \gamma_2)/2$ ,  $v_z$  – z-компоненты скорости атома. Решение уравнения (4) имеет вид

$$x_0 = (A_0 + B_0 T_- + C_0 T_+)^{-1} s, \quad x_2 = T_+ x_0, \quad x_{-2} = T_- x_0, \quad (5)$$

$$T_+ = -(A_2 - C_2(A_4 - C_4(A_6 - C_6(\dots)^{-1}B_6)^{-1}B_4)^{-1}B_2),$$

$$T_- = -(A_{-2} - B_{-2}(A_{-4} - B_{-4}(A_{-6} - B_{-6}(\dots)^{-1}C_{-6})^{-1}C_{-4})^{-1}C_{-2}.$$

Суммируя необходимое число членов дроби (5), можно получить решение с любой наперед заданной точностью и найти силу  $F_z$ .

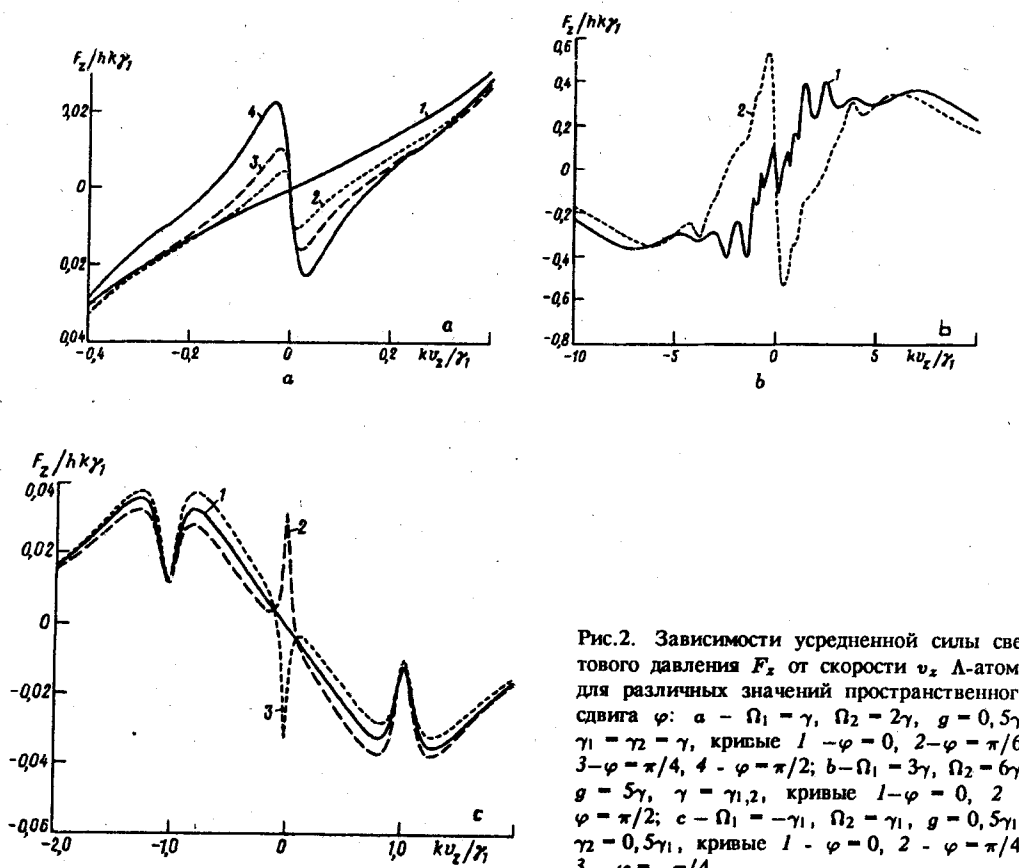


Рис.2. Зависимости усредненной силы светового давления  $F_z$  от скорости  $v_z$  А-атома для различных значений пространственного сдвига  $\varphi$ : а –  $\Omega_1 = \gamma$ ,  $\Omega_2 = 2\gamma$ ,  $g = 0,5\gamma$ ,  $\gamma_1 = \gamma_2 = \gamma$ , кривые 1 –  $\varphi = 0$ , 2 –  $\varphi = \pi/6$ , 3 –  $\varphi = \pi/4$ , 4 –  $\varphi = \pi/2$ ; б –  $\Omega_1 = 3\gamma$ ,  $\Omega_2 = 6\gamma$ ,  $g = 5\gamma$ ,  $\gamma = \gamma_{1,2}$ , кривые 1 –  $\varphi = 0$ , 2 –  $\varphi = \pi/2$ ; в –  $\Omega_1 = -\gamma_1$ ,  $\Omega_2 = -\gamma_1$ ,  $g = 0,5\gamma_1$ ,  $\gamma_2 = 0,5\gamma_1$ , кривые 1 –  $\varphi = 0$ , 2 –  $\varphi = \pi/4$ , 3 –  $\varphi = -\pi/4$

На рис.2а представлена зависимость силы светового давления  $F_z$  от скорости атома для различных значений пространственного сдвига  $\varphi$ . Видно, что для ненулевых значений  $\varphi$  происходит резкое увеличение коэффициента динамического трения  $\beta = (-\partial F_z / \partial v_z)$  в области нулевых скоростей и зависимость  $F_z(v_z)$  приобретает характерный дисперсионный вид [1], наиболее ярко выраженный при  $\varphi = \pi/2$ . Отметим, что при  $\varphi = 0$  трение отрицательно, то есть имеет место разогрев.

На рис.2б показана зависимость  $F_z$  от  $v_z$  для больших интенсивностей стоячих волн. Хорошо видны нелинейные резонансы многофотонного поглощения

$(\varphi = 0)$ , в том числе и в области нулевых скоростей [5]. Существование пространственного сдвига  $\varphi$  и в этом случае ведет к значительному увеличению коэффициента трения для  $v_z = 0$ .

Наконец, рис.2с демонстрирует изменение вида силы светового давления при изменении знака одной из расстроек световых волн. В этом случае в области нулевых скоростей А-атомов наблюдается пик силы светового давления. Причем, от значения  $\varphi$  зависит не только амплитуда, но и знак силы  $F_z$  вблизи  $v_z \approx 0$ .

Так как влияние импульсной диффузии на малых временах взаимодействия незначительно, эволюция скоростного распределения может быть найдена путем решения уравнения Лиувилля с силой (2):

$$\frac{\partial w}{\partial t} = -\frac{\partial(F_z w)}{\partial p_z}. \quad (6)$$

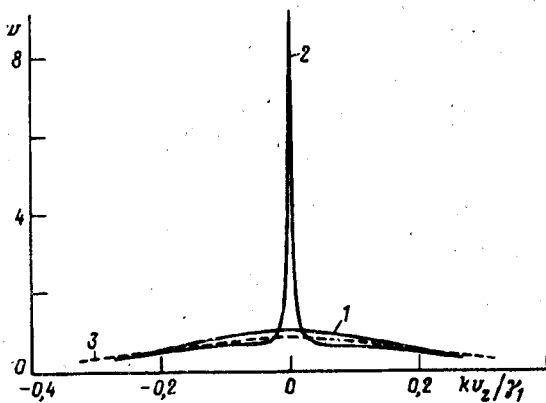


Рис.3. Эволюция скоростного распределения А-атомов под действием силы  $F_z$ : кривая 1 – начальное распределение с шириной  $\Delta v_z(t=0) = 0,5\gamma/k$ , соответствующее температуре  $T_D$  (для Na); 2 – конечное скоростное распределение при  $\varphi = \pi/2$ , время взаимодействия  $t = 1,5\omega_R^{-1} = 5 \cdot 10^{-6}$  с ( $\omega_R = \hbar k^2/M$ ,  $M$  – масса атома); 3 – конечное скоростное распределение при  $\varphi = 0$  и времени взаимодействия  $t = 3\omega_R^{-1} = 10^{-5}$  с. Остальные параметры те же, что и на рис.2а

На рис.3 представлены результаты численного решения уравнения (6) для различных значений сдвига  $\varphi$ . Так, при  $\varphi = 0$  имеет место незначительное увеличение ширины скоростного распределения. В то же время при  $\varphi = \pi/2$  происходит резкое сужение скоростного распределения и ширина образовавшегося пика коллимированных атомов есть  $\Delta v_z \approx 0,01\gamma/k$ , соответствующая ей эффективная температура  $T \approx 2 \cdot 10^{-2} T_D$  (для атомов натрия).

Отметим, что возможность субдоплеровского охлаждения А-атомов в поле двух стоячих волн с пространственным фазовым сдвигом была недавно продемонстрирована экспериментально [7].

1. J.Dalibard and C. Cchen-Tannoudji, J. Opt. Soc. Am. B6, 2023 (1989).
2. P. van der Straten et al., Phys. Rev. A42, 4160 (1993).
3. A.Aspect, E.Arimondo et al. Phys. Rev. Lett., 61, 826 (1988); E.Korsunsky, D.Kosachiov et al. Phys. Rev. A48, 1419 (1993).
4. A.Sidorov et al., J. Phys. B24, 3733 (1991).
5. В.Г.Миногин, В.С.Летохов, Давление лазерного излучения на атомы, М.: Наука, 1986.
6. R.Vilaseca, G.Orriols et al., Appl. Phys. B34, 73 (1984).
7. R.Gupta, C.Xie, S.Padua, H.Batelaan, and H.Metcalf, submitted to Phys. Rev. Lett